

Géomorphologie planétaire (SEE)

UE 4UG25

Aymeric SPIGA

aymeric.spiga@sorbonne-universite.fr



Moons of the Solar System To Scale

Based on mean radius. Some moons are selected in size but appear too blurry a single pixel. Moons considerably smaller than a pixel have been omitted. Scale is in kilometers.

Saturn

58,232 km

Earth

6,371 km

Teleso

13.4 km

Calypso

13 km

Pan

14.1 km

Tethys

531.1 km

Iapetus

734.5 km

Dione

501.4 km

Rhea

763.0 km

Prometheus

133 km

Janus

185 km

Mimas

196.2 km

Enceladus

252.1 km

Iapetus

734.5 km

Charon

486 km

Titan

2,575.5 km

Neptune

24,622 km

Pandora

140 km

Epimetheus

18 km

Hyperion

135 km

Enceladus

252.1 km

Pluto

1,188.3 km

Iapetus

734.5 km

Charon

486 km

Mars

3,389.6 km

Phobos

11.3 km

Deimos

6.2 km

The Moon

1,737.3 km

Miranda

360 km

Uranus

25,362 km

Oberon

761.4 km

Ariel

578.9 km

Umbriel

461.7 km

Titania

780.4 km

Venus

6,051.8 km

Mercury

2,438.7 km

Ganymede

2,554.1 km

Callisto

2,410.3 km



Io

1,821.6 km



Europa

1,560.8 km

Jupiter

142,984 km

Cassini: NGA, JPL, Caltech, SSU, OLCOS

New Horizons: NASA, SwRI, JPL

Juno: NASA, JPL, Caltech, SwRI, MIT

GRD Mars Orbiter: Mission: GRD, OSO

Voyager: Lockheed, JPL, Caltech

Rosetta: ESA, MPS, OSO, Frey

MESSENGER: NASA, Johns Hopkins University

Aurora: JAXA, GSC, DLR

Image Processing & Layout: Kevin M. Gill



Histoire de Mars à travers les âges

[Elhmann et al. Science 2008]

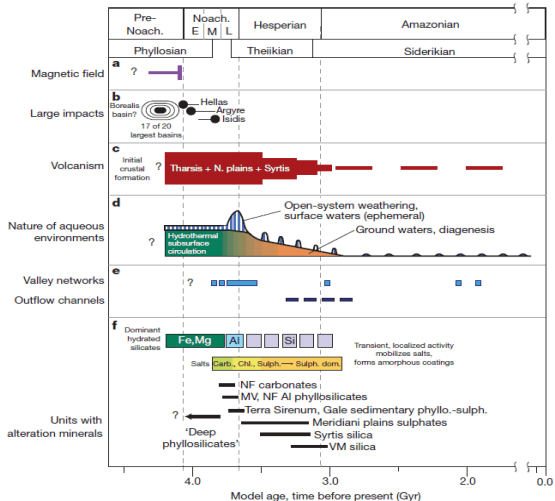


Figure 4 | Timeline of major processes in Mars history. a–c, Major geological processes influencing water availability, including the presence of a magnetic field⁹⁶ (a), impact cratering^{96,97} (b) and volcanism^{86,98} (c). d, Schematic depicting the changing nature of environments hosting liquid water, as implied by the geological evidence discussed herein. e, f, Evidence of liquid water: timing of valley network and outflow channel activity^{15,16} ages of key minerals

formed by aqueous alteration (e) and important regional units with alteration minerals (f). Relative timing is determined using relative crater densities and stratigraphic relationships. Absolute ages of period boundaries⁹ have uncertainties of several hundred million years, inherent to extrapolation from cratering statistics⁹⁹. NF, Nili Fossae; MV, Mawrth Vallis; VM, Valles Marineris; Carb., carbonates; ChL, chlorites; Sulph., sulphates.

Plan

- 1 Impacts
- 2 Volcanisme
- 3 Tectonique
- 4 Glaciologie
- 5 Érosion
 - Éolienne
 - Fluviale et lacustre

Plan

- 1 Impacts
- 2 Volcanisme
- 3 Tectonique
- 4 Glaciologie
- 5 Érosion
 - Éolienne
 - Fluviale et lacustre

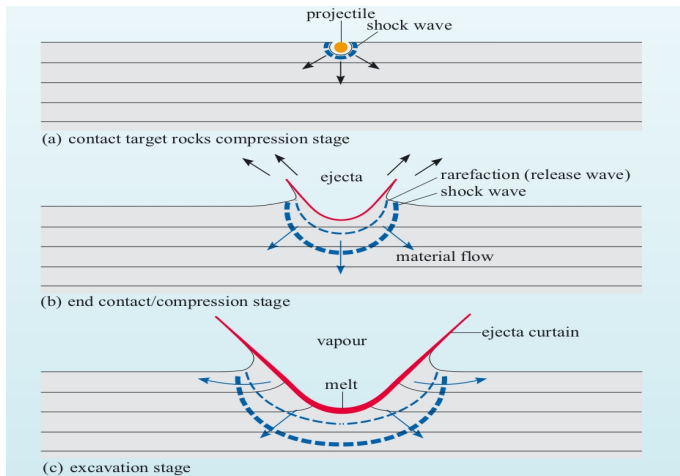
Impacts et Cratérisation

Principal mécanisme

- ✎ altération des surfaces des corps sans atmosphère (hors Io, Europe).
- ✎ apport et d'excavation de matériel planétaire
 - formation de satellites par agrégation après collision (Lune, Phobos)
 - apport de volatiles dans les surfaces et atmosphères (SL9 Jupiter)

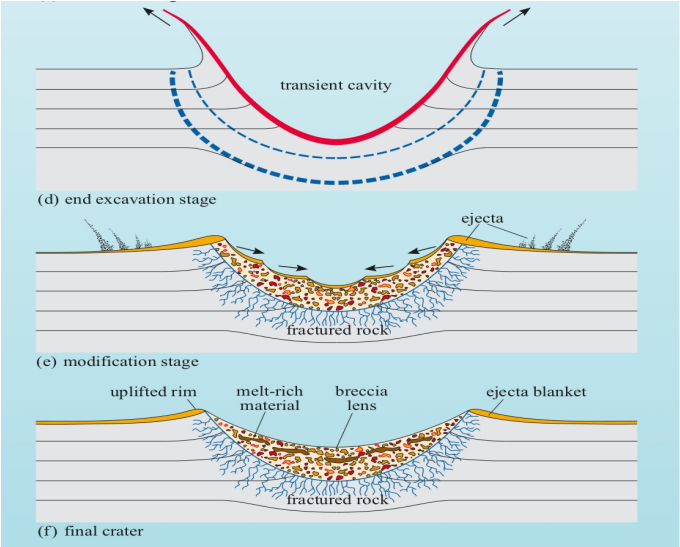
- ☞ **forme, taille** ⇒ propriétés des surfaces planétaires (composition, résistance, stratifications, porosité) et de leurs impacteurs, caractéristiques d'une éventuelle atmosphère
- ☞ **distribution, statistique** ⇒ âge et évolution des surfaces planétaires, population des impacteurs (restes primitifs des planétésimaux de l'accrétion planétaire)
- ☞ **extrêmes** ⇒ évènements catastrophiques (e.g. formation de satellites, modification des paramètres orbitaux de certains corps)

Development of a simple impact structure



[McBride and Gilmour, *An Introduction to the Solar System*, 2004 – after Melosh 1989]

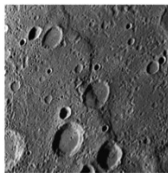
Development of a simple impact structure



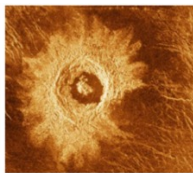
[McBride and Gilmour, *An Introduction to the Solar System*, 2004 – after Melosh 1989]

Bestiaire de cratères

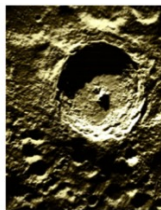
Simple, secondaires, complexes, à anneaux, bassins d'impact



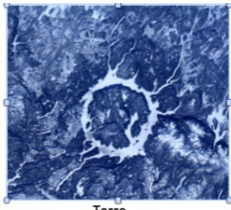
Mercur



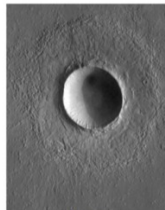
Vénus



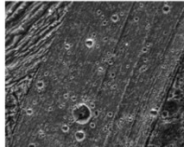
Lune



Terre



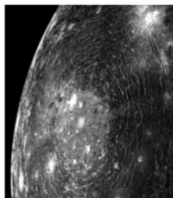
Mars



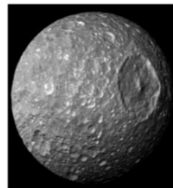
Ganymède



Astéroïde Ida



Callisto

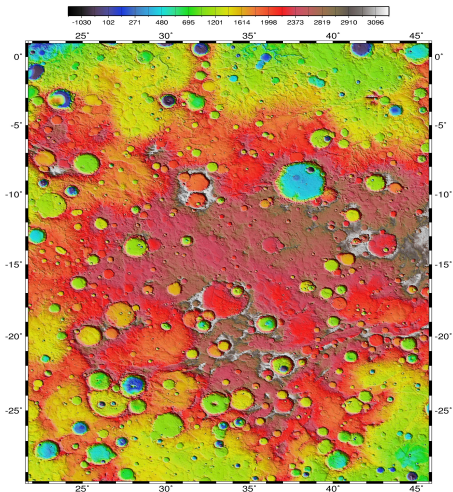


Mimas

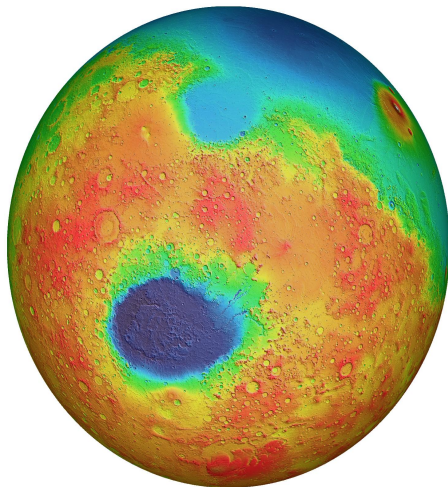
[Assemblage réalisé par Alice Le Gall]

Craters on Mars (MOLA topography)

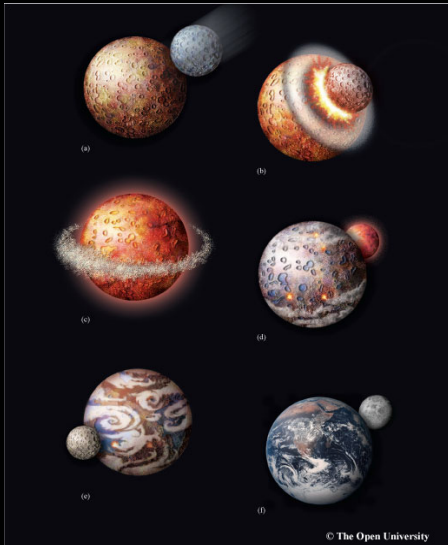
Noachis Terra



Hellas crater

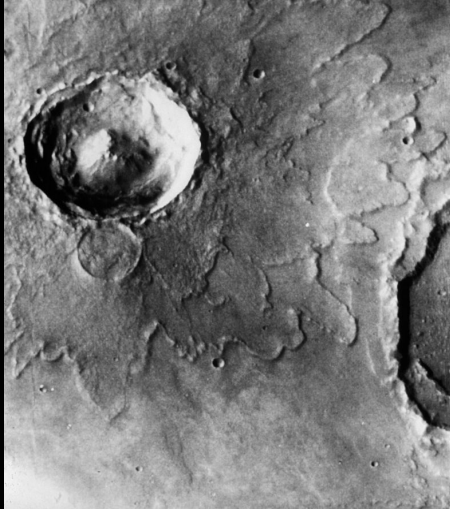


The formation of the Moon



Science Magazine, October 2013
Where did the moon come from? For 3 decades, planetary scientists have agreed that it happened something like this: While the solar system was still forming, a body the size of Mars struck Earth a glancing blow that reduced both to rubble. The cloud of debris reformed itself into the modern Earth and moon. This "giant impact" theory neatly explained why the rocks Apollo astronauts brought back from the moon closely resembled rocks on Earth—or so it seemed at first. Actually, recent computer models show, such a collision wouldn't have scrambled the two bodies together enough to explain the similarity. Meeting last month in London to discuss the problem, scientists agreed that the origin of the moon must have been messier and more complicated than anyone had assumed.

Types d'éjectas remarquables: Mars et Vénus

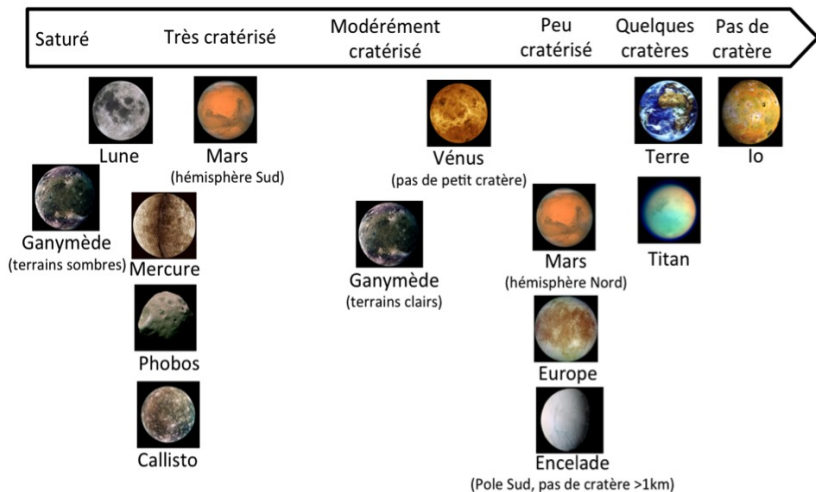


[Yuty crater 18 km (Viking)]



[Lavinia craters 37-50 km (Magellan)]

Degré de cratérisation



[Figure réalisée par Alice Le Gall]

Datation par comptage de cratères

Distribution des cratères (nombre de cratères en fonction de leur taille)

- ✎ Estimation de l'âge relatif des surfaces
 - Plus une surface est cratérisée, plus elle est ancienne.
 - Plus les cratères sont grands, plus ils sont vieux.

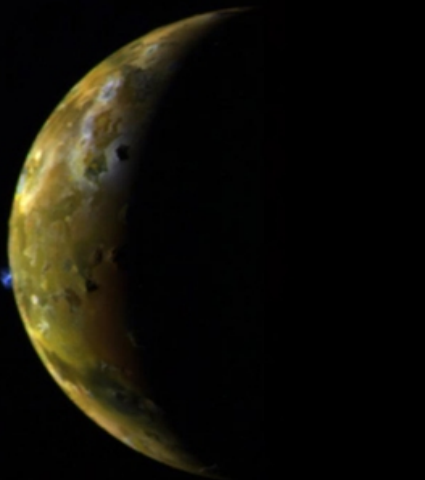
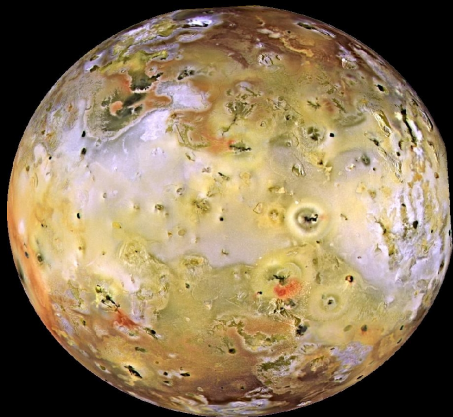
Taille des projectiles et taux de cratérisation plus importants dans la jeunesse du système solaire ; puis mobilisation de tailles de façon décroissante dans les planétésimaux.

- ✎ Connaissance nécessaire de l'évolution du flux d'impacteurs. Datation radiogéniques d'échantillons lunaires collectés lors des missions Apollo. Mise en évidence du Late Heavy Bombardement il y a 4 milliards d'années.
- ✎ Prise en compte de la présence d'une atmosphère (et de l'évolution de sa densité). Extrapolation sujette à caution.

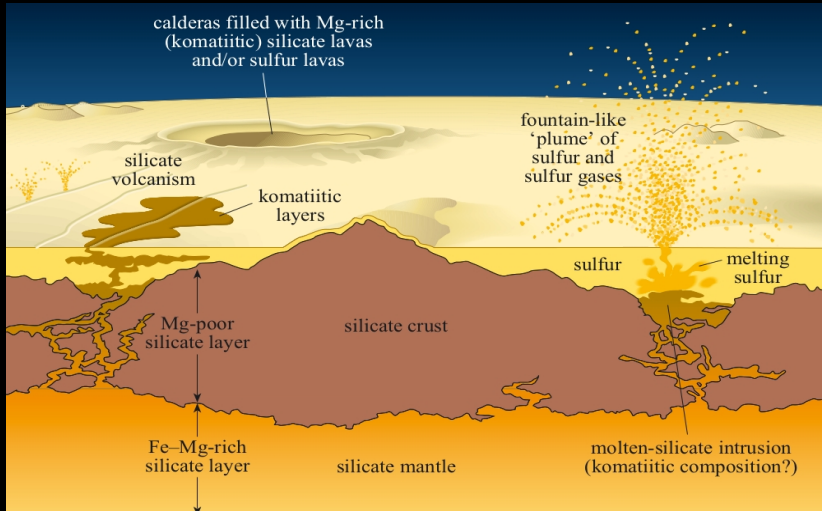
Plan

- 1 Impacts
- 2 Volcanisme**
- 3 Tectonique
- 4 Glaciologie
- 5 Érosion
 - Éolienne
 - Fluviale et lacustre

Io et son volcanisme intense (images Galileo)



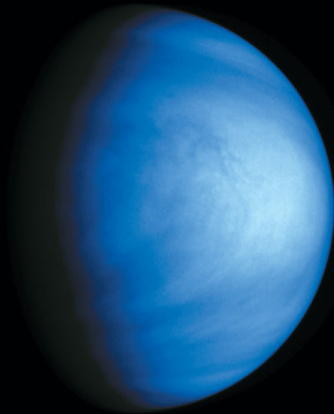
Io: three different types of eruptions



[McBride and Gilmour, An Introduction to the Solar System, 2004]

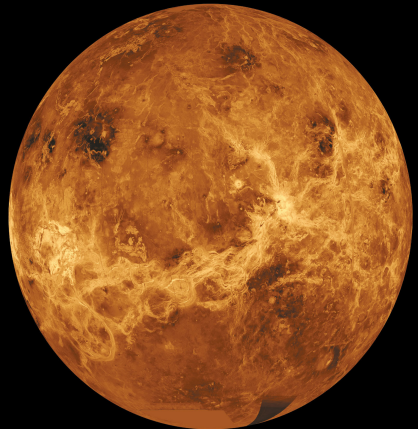
Vénus

vue par Galileo (image visible
fausses couleurs)



Courtesy of NASA

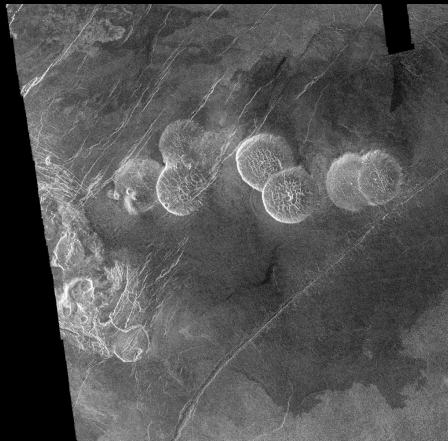
vue par Magellan
(cloud-penetrating radar)



Courtesy of NASA

Volcanisme sur Vénus

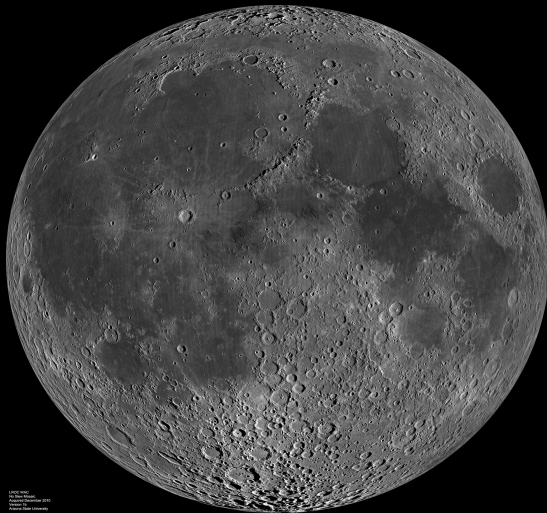
“pancake” domes (25 km, 750 m)



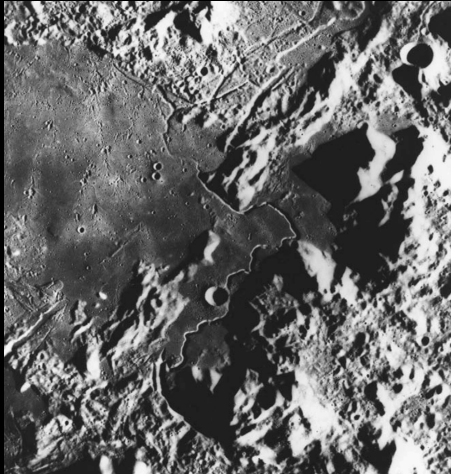
Atete Corona (600 × 450 km)



Near-side Moon imaged by LRO in 2010



Moon's Hadley Rille

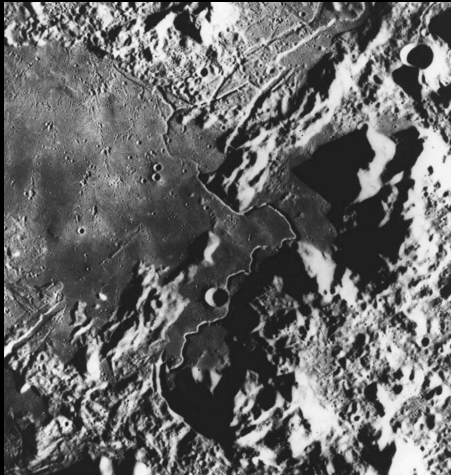


[NASA Lunar Orbiter IV-102H3 150 × 150 km scene]



[Photo Apollo 15 (31 July 1971)]

Moon's Hadley Rille vs. Earth lava channel



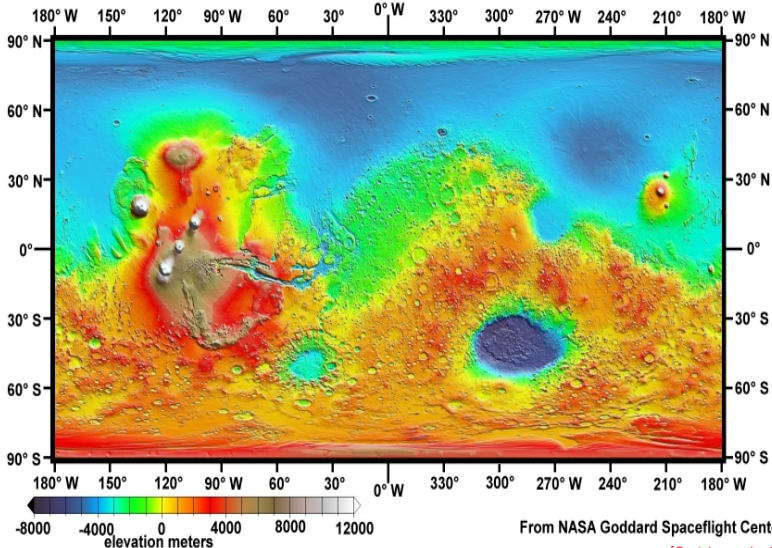
[NASA Lunar Orbiter IV-102H3 150 × 150 km scene]



[Lava channel Hawaii volcano 1984 R.W. Decker USGS]

Mars' topography by the MOLA altimeter

Color-coded Elevations on Mars, MOLA Altimeter, MGS Mission



From NASA Goddard Spaceflight Center

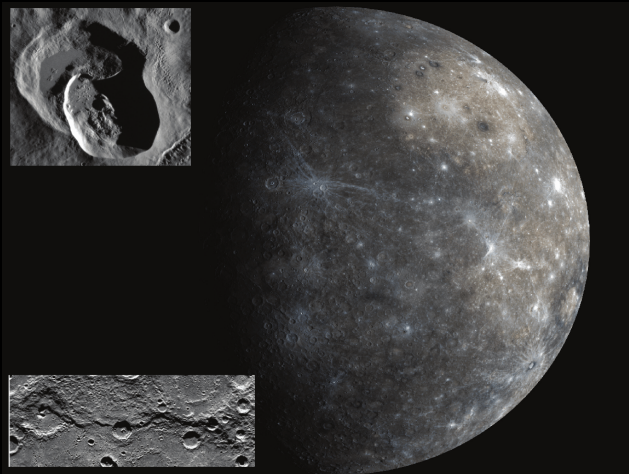
[Smith et al. JGR 2001]

Plan

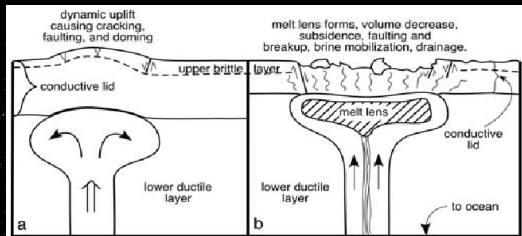
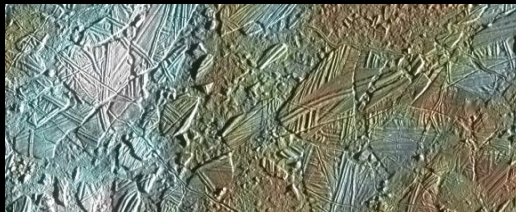
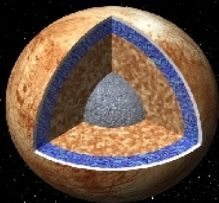
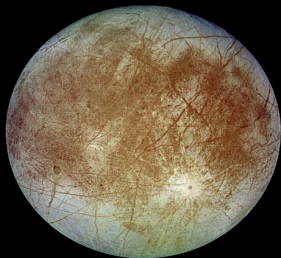
- 1 Impacts
- 2 Volcanisme
- 3 Tectonique**
- 4 Glaciologie
- 5 Érosion
 - Éolienne
 - Fluviale et lacustre

Mercure

moisson de découvertes de la sonde MESSENGER

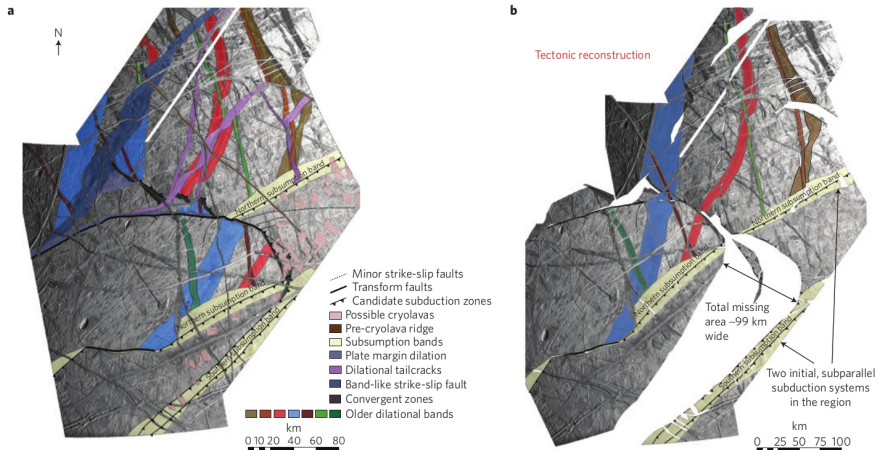


Europe



Sotin et al. 2002

Tectonics on Europa (Galileo images)



[Katterhorn and Prockter Nature Geoscience 2014]

Valles Marineris vue par la mission Viking 1976

Vue globale



Ophir Chasma

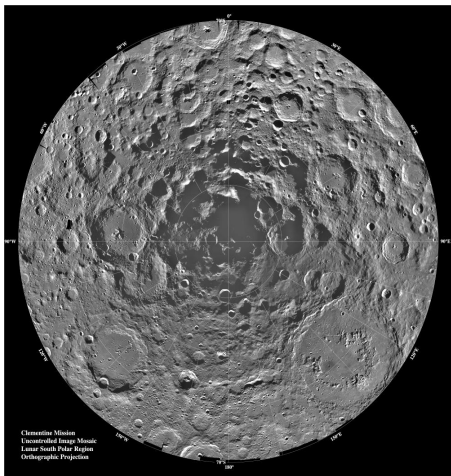


Plan

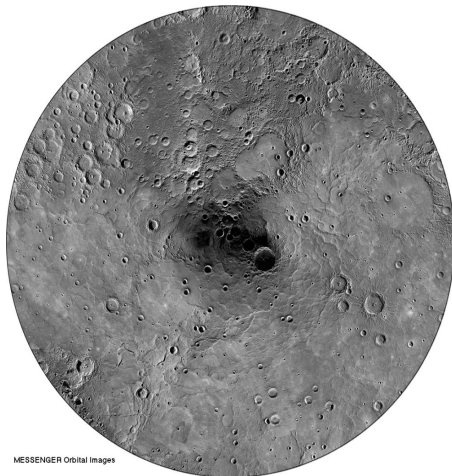
- 1 Impacts
- 2 Volcanisme
- 3 Tectonique
- 4 Glaciologie**
- 5 Érosion
 - Éolienne
 - Fluviale et lacustre

Water ice in permanently shadowed areas

Moon's south pole



Mercury's north pole

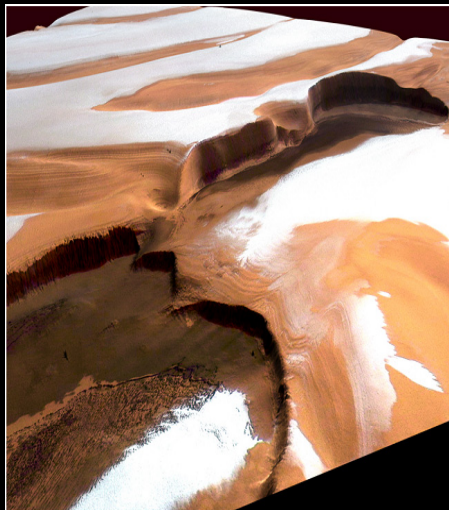


[PIA00001,PIA16950]

Martian northern polar cap



[MGS/MOC visible image]



[HRSC visible image (3D-projected)]

Polygons in permafrost terrains

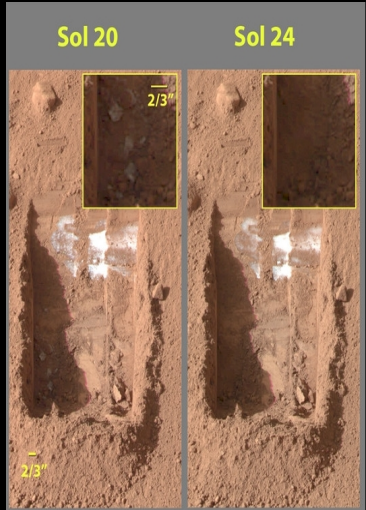
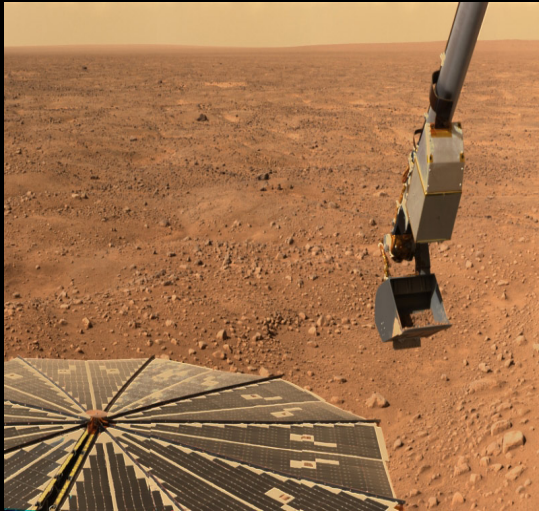
Mars phoenix landing site



Spitsbergen (Norway)



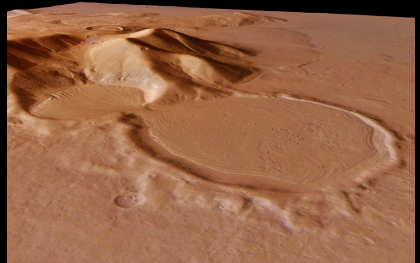
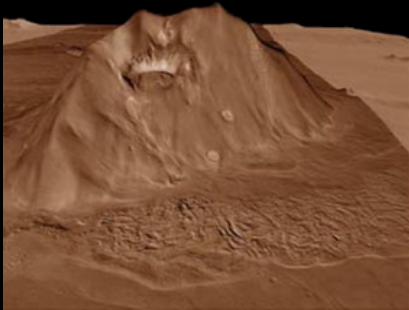
Mission Phoenix sur Mars 2009



Ice-related landforms east of Hellas, Mars

Echoes other young features in Tharsis (Hecates Tholus)

Lobate Debris Apron (15 × 1.5 km) Rock glacier (crater 20 km wide)



[Caméra ESA Mars Express HRSC; Head et al. Nature 2005; Hauber et al. 2008]

Survol de Pluton+Charon par New Horizons

14 juillet 2015

Ultimate bodybuilding: The quest for exoskeletons p. 270

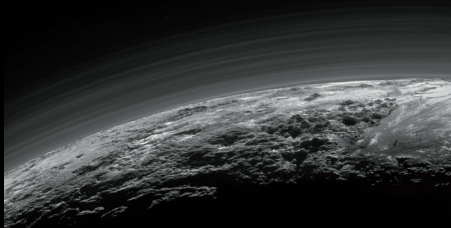
Giving a boost to quantum electronics pp. 260 & 307

Engineering remote-controlled T cells p. 253

Science

\$19
16 OCTOBER 2015
science.org

AAAS



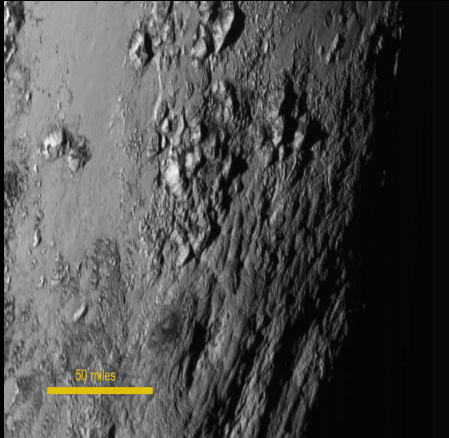
Flying past Pluto

New Horizons finds surprises at Pluto and Charon pp. 260 & 292

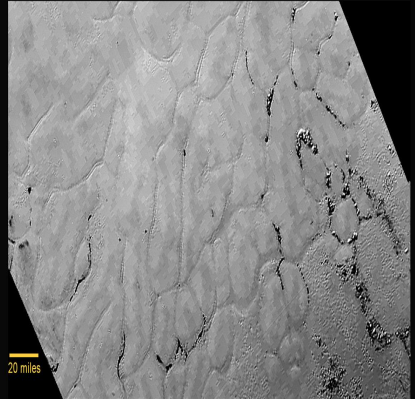


Au coeur de Tombaugh Regio

Montagnes glacées (H_2O)



Glaciers Sputnik (N_2, CO)



[Images New Horizons]

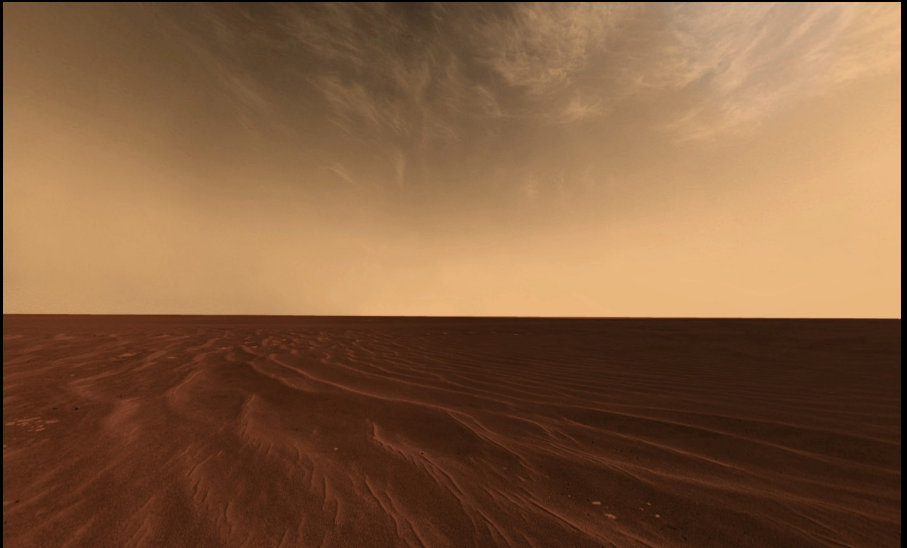
Plan

- 1 Impacts
- 2 Volcanisme
- 3 Tectonique
- 4 Glaciologie
- 5 **Érosion**
 - Éolienne
 - Fluviale et lacustre

Plan

- 1 Impacts
- 2 Volcanisme
- 3 Tectonique
- 4 Glaciologie
- 5 **Érosion**
 - Éolienne
 - Fluviale et lacustre

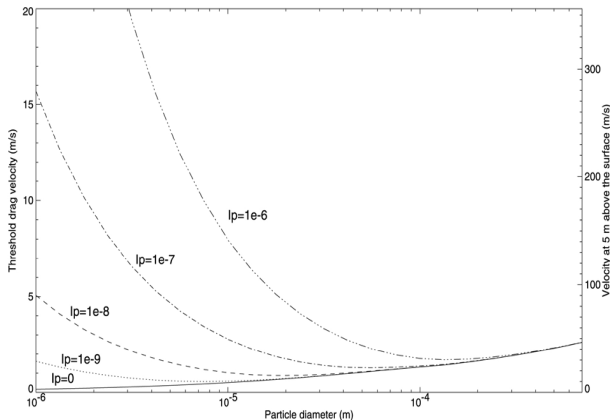
The Martian environment



[Pancam on Opportunity Rover]

Soulever des poussières dans une fine atmosphère ?

Théorie et études soufflerie



Petites particules :
Force de cohésion

Taille optimale
 $100 \mu\text{m}$

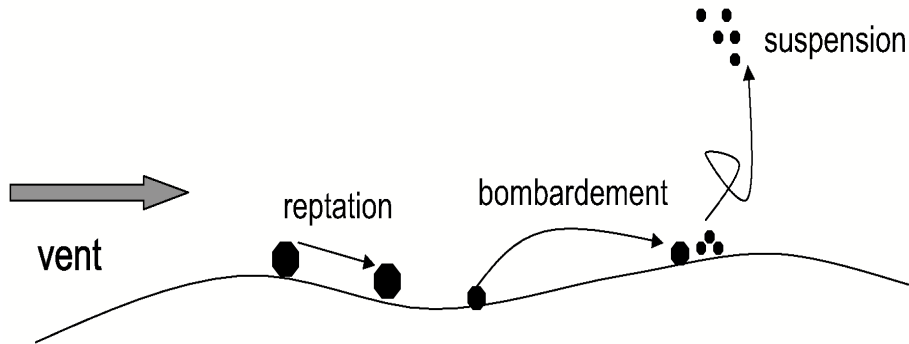
Grosses particules :
Force de gravité

[figure from Newman et al. JGR 2002]

Soulever des poussières dans une fine atmosphère

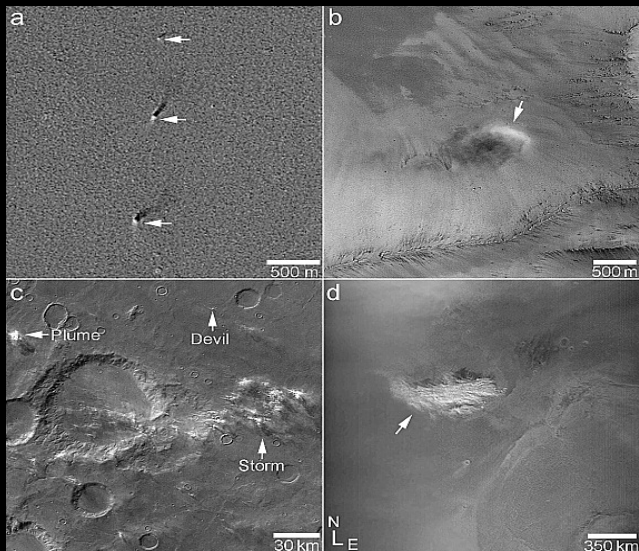
Phénomène de saltation

Les poussières de $\sim 100 \mu\text{m}$ délogent les plus petites particules capables de rester en suspension dans l'atmosphère



[Boucher Springer book 2012]

How to lift dust on Mars?



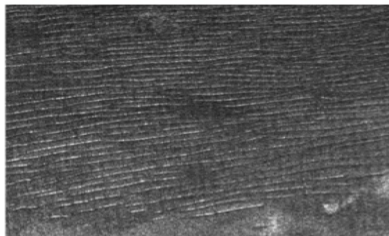
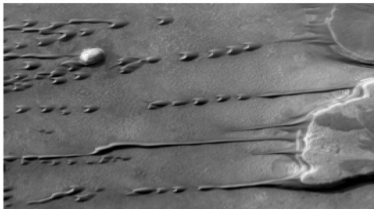
[Cantor et al. JGR 2006]

Dunes planétaires

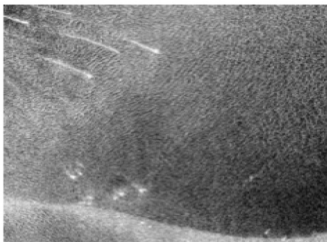
Dunes en étoile sur Terre (Algérie)



Dunes barchanes sur Mars
(image de la caméra HiRISE/MRO)



Champ de dunes linéaires sur Titan
(image du RADAR de Cassini)



Champ de dunes transverses sur Vénus
(image du RADAR de Magellan)

[Figure assemblée par Alice Le Gall]

Plan

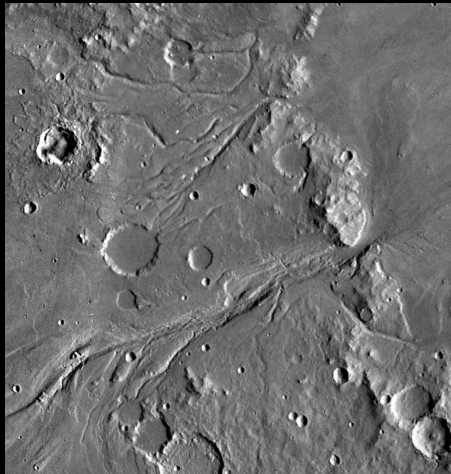
- 1 Impacts
- 2 Volcanisme
- 3 Tectonique
- 4 Glaciologie
- 5 **Érosion**
 - Éolienne
 - **Fluviale et lacustre**

Mars: structures fluviales

Valley network, Parana Valles

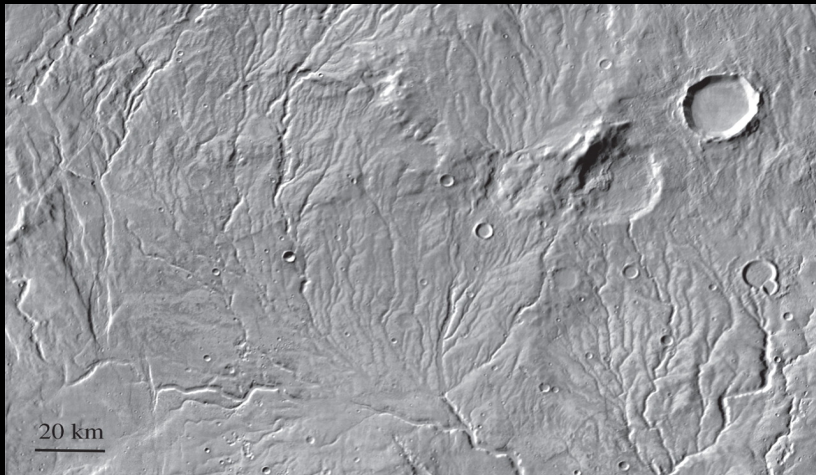


Outflow channel, Mariner 9



Warrego Vallis: valley network

42S, 267E, one of the most densely dissected areas of the planet



[Carr Phil. Trans. Roy. Soc. A 2012]

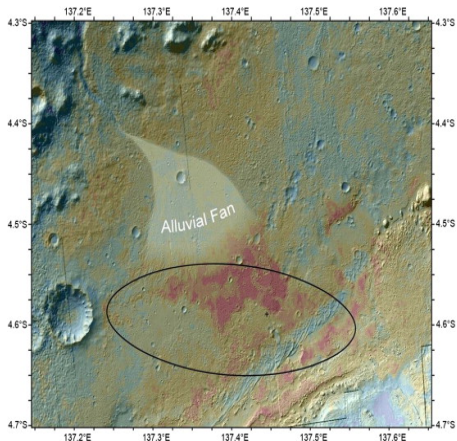
Kasei Vallis: outflow channel



[Carr Phil. Trans. Roy. Soc. A 2012]

Curiosity in fluvio-lacustrine Gale crater

Context



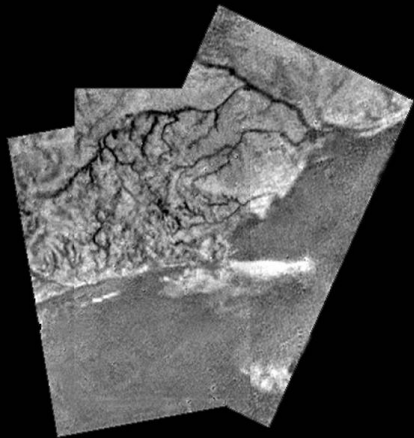
Terrain Fluvial conglomerates



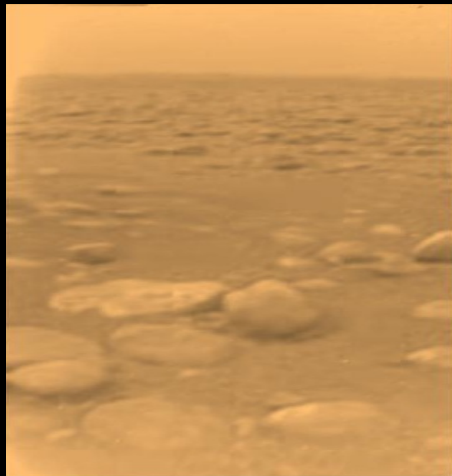
[Williams et al. Science 2013; Baker et al. Geomorphology 2015]

Titan: imagerie DISR de la sonde Huygens

Vallées fluviales (scène 15 km)

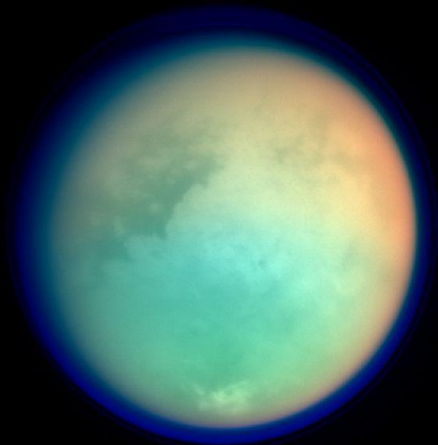


Surface (galets 5-10 cm)

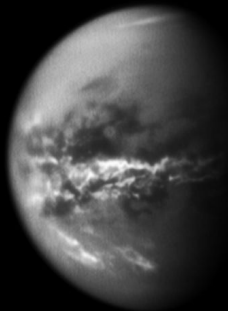


[gauche: PIA07236, droite: PIA07232]

Sur Titan, nuages et cycle du méthane complet



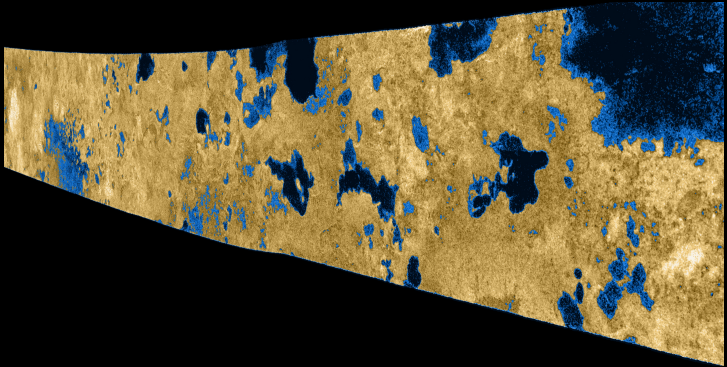
[Cassini-Huygens, 2004]



[Cassini-Huygens, 2010]

Des lacs d'hydrocarbures sur Titan

Image radar Cassini. Les lacs sont sombres car rétrodiffusion limitée



[référence PIA09102]

Distant Horizons - Different Surfaces

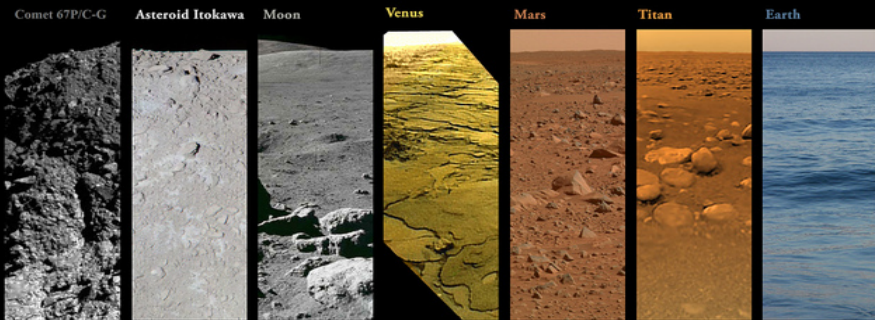


Image Credits:

Comet 67P/C-G [Rosetta/Philae]: ESA / Rosetta / Philae / CIVA / Michiel Straathof

Asteroid Itokawa [Hayabusa]: ISAS / JAXA / Gordan Ugarkovic

Moon [Apollo 17]: NASA

Venus [Venera 14]: IKI / Don Mitchell / Ted Stryk / Mike Malaska

Mars [Mars Exploration Rover Spirit]: NASA / JPL / Cornell / Mike Malaska

Titan [Cassini Huygens]: ESA / NASA / JPL / University of Arizona

Earth: Mike Malaska

Composition by Mike Malaska
updated by Michiel Straathof